

جایابی و تعیین اندازه بهینه تولیدات پراکنده تجدیدپذیر با استفاده از الگوریتم بازار بورس

سعید بوذرجمهری^{۱*}، حسن براتی^۲

*۱- دانشجوی کارشناسی ارشد برق، دانشکده فنی و مهندسی، واحد دزفول، دانشگاه آزاد اسلامی، دزفول، ایران،

S.bouzarjmehri@gmail.com

۲- استادیار گروه برق، دانشکده فنی و مهندسی، واحد دزفول، دانشگاه آزاد اسلامی، دزفول، ایران، Barati216@gmail.com

چکیده: از آنجایی که شبکه‌های توزیع، سهم بزرگی از تلفات در سیستم‌های قدرت را شامل می‌شوند، کاهش تلفات در این شبکه‌ها یکی از مسائل اساسی در شبکه‌های سراسری می‌باشد و از جمله مباحثی است که همواره مورد توجه بوده است. راه‌های مختلفی برای کاهش تلفات در شبکه‌های توزیع وجود دارد که یکی از این راه‌ها، نصب واحدهای تولیدپراکنده است. منابع تجدیدپذیر می‌توانند یک راه‌حل پاک و هوشمند برای افزایش تقاضا ارائه دهند. بنابراین فتوولتائیک و توربین بادی در اینجا به عنوان منابع تولیدپراکنده در نظر گرفته شده‌اند. مکان‌یابی و تعیین اندازه تولیدات پراکنده تا حد زیادی بر روی تلفات سیستم تأثیر می‌گذارد. در این مقاله، الگوریتم بهینه‌سازی بازار بورس (EMA) برای مکان‌یابی و تعیین اندازه بهینه تولیدات پراکنده تجدیدپذیر برای سیستم توزیع ۶۹ شینه ارائه شده است. الگوریتم بازار بورس بر روی سیستم توزیع شعاعی IEEE با استفاده از نرم‌افزار MATLAB شبیه‌سازی و مورد مطالعه قرار گرفته است و نتایج بدست آمده از الگوریتم EMA با الگوریتم‌های دیگر مقایسه می‌شود. نتایج بدست آمده مؤثر بودن الگوریتم بازار بورس را در یافتن مکان و اندازه بهینه تولیدات پراکنده جهت کاهش تلفات و بهبود پروفیل ولتاژ را نشان می‌دهد.

واژه‌های کلیدی: تولیدات پراکنده، الگوریتم بازار بورس، جایابی بهینه، بهبود پروفیل ولتاژ، کاهش تلفات.

۱- مقدمه

تولید پراکنده (DG^1) یک منبع توان الکتریکی است که به طور مستقیم متصل به سیستم توزیع و یا در محل مشتری می‌باشد [1-4]. از آنجا که تولیدات پراکنده مختلف از منابع تجدیدپذیر مانند توربین‌های بادی و سیستم‌های فتوولتائیک استفاده می‌کنند، انرژی تولیدی پاک‌تری را ارائه می‌دهند [4]. ویژگی‌های اصلی تولیدات پراکنده، کاهش تلفات خط، افزایش بهره‌وری، بهبود کیفیت توان، افزایش قابلیت اطمینان سیستم و کاهش هزینه سوخت و هزینه‌های عملیاتی و تعمیر و نگهداری می‌باشد [4,5]. با این حال، انتخاب نامناسب مکان و اندازه DG منجر به تلفات و هزینه‌های بیشتر نسبت به بدون DG می‌شود [6]. مسئله اندازه و جایابی DG با استفاده از تکنیک‌های مختلف حل شد. طرح حفاظت تطبیقی در مرجع [7] از طریق شبکه‌های عصبی برای سیستم‌های توزیع با نفوذ بالا در واحدهای DG توسعه داده شده است. اندازه بهینه منابع انرژی تجدیدپذیر در DG در مراجع [8,9] مورد بحث

قرار گرفته است، درحالی‌که تابع هدف و محدودیت‌ها با مجموعه‌های فازی مدل‌سازی می‌شوند. یک روش ساده سیستماتیک برای اختصاص واحدهای DG چندگانه در شبکه توزیع در مرجع [10] ارائه شده است. مفهوم بار معادل به طور دقیق برای شناسایی بار مرکزی به کار رفته است. در مرجع [11] تخلیه بار به عنوان یک راه برای دستیابی به یک توافق بین افزایش قابلیت اطمینان و اندازه DG برای نصب در نظر گرفته شده است.

اخیراً، بسیاری از الگوریتم‌های بهینه‌سازی در ادبیات مورد توجه قرار گرفته‌اند تا با مسئله مکان و اندازه DG در سیستم‌های توزیع مواجه شوند. استفاده از جستجوی ممنوع برای اندازه بهینه در سیستم‌های قدرت کوچک هیبریدی جداشده در مرجع [12] نشان داده شده است. کاربرد GA^2 و شبیه‌سازی آنیل به تخصیص بهینه DG در شبکه توزیع در مرجع [13] مورد بحث قرار گرفته است. در مرجع [14] روش قصد دارد، حل مسئله را با استفاده از GA به منظور

$$f_2 = \frac{\sum_{i=1}^N |V_i - V_{i,ref}|_{after DG}}{\sum_{i=1}^N |V_i - V_{i,ref}|_{before DG}} \quad (3)$$

f_3 ارتقا VSI را ارائه می‌دهد. سپس f_3 می‌تواند بصورت زیر تعریف شود:

$$f_3 = \frac{1}{VSI(k)_{after DG}} \quad (4)$$

که VSI بصورت معادله (۵) داده شده است [19,20]:

$$VSI(k) = |V_i|^4 - 4(P_k \cdot X_{ik} - Q_k \cdot R_{ik})^2 - 4(P_k \cdot R_{ik} + Q_k \cdot X_{ik}) \cdot |V_i|^2 \quad (5)$$

w_1 و w_2 و w_3 عوامل وزن هستند. مجموع مقادیر مطلق وزن که برای تمام اثرات اختصاص داده می‌شود، باید بصورت زیر باشد، همان طور که در معادله (۶) نشان داده شده است:

$$|w_1| + |w_2| + |w_3| = 1 \quad (6)$$

در این پژوهش، 0.5 برای w_1 در نظر گرفته شده است، در حالیکه 0.25 برای w_2 و w_3 در نظر گرفته شده است.

۲-۱-۱- محدودیت‌های مساوی و نامساوی

تابع هدف در حالی که محدودیت‌های زیر را رعایت کند، به حداقل می‌رسد.

۲-۱-۱- محدودیت‌های مساوی

• محدودیت ذخیره توان

مجموع جبری پخش بار ورودی و خروجی بر روی سیستم توزیع باید برابر باشد [21,22]، بدین ترتیب،

$$P_{Swing} + \sum_{i=1}^{N_{DG}} P_{DG}(i) = \sum_{i=1}^L P_{Linloss}(i) + \sum_{q=1}^N Pd(q) \quad (7)$$

$$Q_{Swing} + \sum_{i=1}^{N_{DG}} Q_{DG}(i) = \sum_{i=1}^L Q_{Linloss}(i) + \sum_{q=1}^N Qd(q) \quad (8)$$

۲-۱-۲- محدودیت‌های نامساوی

• محدودیت ولتاژ

مقدار ولتاژ در هر شین باید توسط معادله (۹) محدود شود:

$$V_{min} \leq |V_i| \leq V_{max} \quad (9)$$

که V_{min} ، V_{max} به ترتیب 0.95 ، 1.05 در نظر گرفته شده است.

• محدودیت ظرفیت DG

ظرفیت نصب شده DG در شبکه به منظور جلوگیری از پخش بار معکوس محدود شده است. تا از قدرت تأمین شده توسط پست تجاوز نکنند [21]

$$\sum_{i=1}^{N_{DG}} P_{DG}(i) \leq \frac{3}{4} \times [\sum_{i=1}^L P_{Linloss}(i) + \sum_{q=1}^N Pd(q)] \quad (10)$$

$$\sum_{i=1}^{N_{DG}} Q_{DG}(i) \leq \frac{3}{4} \times [\sum_{i=1}^L Q_{Linloss}(i) + \sum_{q=1}^N Qd(q)] \quad (11)$$

$$P_{DG}^{min} \leq P_{DG}(i) \leq P_{DG}^{max} \quad (12)$$

$$Q_{DG}^{min} \leq Q_{DG}(i) \leq Q_{DG}^{max} \quad (13)$$

• محدودیت ظرفیت خط

به حداقل رساندن تلفات توان در شبکه توزیع اولیه و اطمینان از سطح قابل قبول و پروفیل ولتاژ تضمین کند. یک الگوریتم ترکیبی در مرجع [15] برای بررسی مکان و اندازه DG شبکه توزیع پیشنهاد شده است. مکان DG توسط GA جستجو می‌شود و اندازه آن توسط PSO³ بهینه‌سازی شده است. در مرجع [16]، از PSO برای پیدا کردن مکان بهینه واحدهای DG استفاده می‌شود.

از اهداف این پژوهش می‌توان به فرمول‌بندی مسئله جایابی و تعیین اندازه بهینه DGها جهت بهینه‌سازی اهداف، کاهش تلفات توان اکتیو، بهبود پروفیل ولتاژ و بهبود شاخص پایداری ولتاژ در شبکه‌های توزیع شعاعی و همچنین حل مسئله جایابی و تعیین اندازه بهینه DG با استفاده از الگوریتم بهینه‌سازی بازار بورس با استفاده از محیط نرم‌افزاری MATLAB و پیاده‌سازی روی شبکه توزیع استاندارد نمونه اشاره کرد. همچنین با توجه به افزایش روز افزون مصرف کنندگان انرژی الکتریکی، توسعه شبکه‌های توزیع انرژی الکتریکی و نیاز بارها به ولتاژ با دامنه ثابت استفاده از منابع تولید پراکنده ضروری به نظر می‌رسد بنابراین اجرای چنین پروژه‌هایی می‌تواند در تصمیم‌گیری و توسعه شبکه توزیع مفید باشد.

در بخش اول بعد از ارائه مقدمه، مروری بر کارهای انجام شده توسط سایر پژوهشگران پیرامون موضوع مقاله ذکر گردیده است. در بخش دوم الگوریتم بهینه‌سازی بازار بورس به عنوان یکی از الگوریتم‌های هوشمند موثر و کارآمد در یافتن پاسخ بهینه معرفی می‌گردد. در بخش سوم تابع هدف مسئله و قیود موجود و فرمول‌بندی مسئله گنجانده شده است. در بخش چهارم، حل مسئله جایابی منابع تولیدپراکنده طبق الگوریتم بازار بورس بر روی شبکه استاندارد ۶۹ شینه IEEE از طریق نرم افزار MATLAB شبیه‌سازی شده است. در این بخش علاوه بر ارائه نتایج، حل مسئله جایابی منابع تولیدپراکنده تجدیدپذیر توسط الگوریتم بازار بورس بصورت نمودار و جدول در مقایسه با الگوریتم‌های دیگر انجام شده است. در بخش پنجم هم نتیجه‌گیری کلی از انجام مقاله ارائه شده است.

۲- تابع هدف

تابع هدف پیشنهادی برای کاهش تلفات توان و بهبود پروفیل ولتاژ و ارتقاء شاخص پایداری ولتاژ (VSI^4) استفاده می‌شود. مکان‌های DG و اندازه آنها می‌توانند با حل تابع هدف زیر بصورت بهینه بدست آیند [18,19].

$$F_t = w_1 f_1 + w_2 f_2 + w_3 f_3 \quad (1)$$

که f_1 کاهش تلفات اکتیو را نشان می‌دهد و می‌توان آن را بر اساس رابطه (۲) بیان کرد:

$$f_1 = \frac{\sum_{i=1}^L (P_{Linloss}(i))_{after DG}}{\sum_{i=1}^L (P_{Linloss}(i))_{before DG}} \quad (2)$$

f_2 بهبود وضعیت پروفیل ولتاژ را نشان می‌دهد و می‌توان آن را بصورت معادله (۳) تعریف کرد:

$$\eta_1 = n_{t1} \times g_1 \quad (21)$$

$$g_1^k = g_{1,max} - \frac{g_{1,max} - g_{1,min}}{iter_{max}} \times k \quad (22)$$

که در آن Δn_{t1} مقدار سهمی است که باید به طور تصادفی برای برخی از سهامها اضافه شود، n_{t1} مجموع سهامهای فرد t ام قبل از اعمال تغییرات سهامها است. s_{ty} سهم t ام فرد t ام است، δ اطلاعات بازار بورس است. r یک عدد تصادفی در بازه $[0,1]$ می باشد. n_1 سطح ریسک مربوط به هر فرد گروه دوم است، t_{pop} شماره آمین فرد در بازار بورس است. n_{pop} شماره آخرین نفر در بازار بورس می باشد، μ ضریب ثابت برای هر شخص بوده و g_1 نیز مقدار ریسک معمول بازار است که با افزایش تکرار مقدار آن کاهش می یابد. $iter_{max}$ شماره آخرین تکرار برنامه بوده و k شماره تکرار برنامه است. $g_{1,max}$ و $g_{1,min}$ به ترتیب حداکثر و حداقل مقدار ریسک را در بازار نشان می دهد.

در حالی که نیاز به استفاده از ضریب جریمه در مسئله بهینه سازی نیست $\delta = n_{t1}$ می باشد. در قسمت دوم این بخش لازم است هر شخص به مقداری که سهام اضافی خریداری نموده به همان مقدار نیز برخی از سهامهای خود را از هر نوع را به صورت تصادفی بفروشد تا مجموع سهامهای هر فرد بدون تغییر باقی بماند. در این قسمت لازم است هر فرد در کل به مقدار Δn_{t2} مجموع سهامهای خود را کاهش دهد. در این حالت مقدار Δn_{t2} هر شخص برابر است با:

$$\Delta n_{t2} = n_{t2} - \delta \quad (23)$$

که در آن Δn_{t2} مقدار سهمی است که باید هر فرد به آن اندازه سهام بفروشد و n_{t2} مقدار مجموع سهامهای فرد t ام بعد از اعمال تغییرات در سهام است.

۳-۲-۳- گروه سوم: سهامداران با رتبه های پایین

درصد ریسک این افراد در این گروه متفاوت بوده و با کاهش رتبه آنها از لحاظ برانزندی مقدار این ریسک افزایش می یابد. در این بخش، برخلاف گروه دو مجموع تعداد سهامهای افراد با انجام داد و ستد تغییر می کند. به بیان دیگر در این بخش هر فرد مقداری سهام خرید و یا فروش می نماید. سهامداران این گروه برخی از سهامهای خود را به شرح زیر تغییر می دهند:

$$\Delta n_{t3} = (4 \times r_s \times \mu \times \eta_2) \quad (24)$$

$$r_s = (0.5 - rand) \quad (25)$$

$$\eta_2 = n_{t1} \times g_2 \quad (26)$$

$$g_1^k = g_{1,max} - \frac{g_{1,max} - g_{1,min}}{iter_{max}} \times k \quad (27)$$

که در آن Δn_{t3} مقدار سهمی است که باید به صورت تصادفی در سهامهای هر عضو از گروه سه اعمال گردد. r_s عدد تصادفی در بازه $[-0/5, 0/5]$ می باشد و η_2 ضریب ریسک مربوط به هر فرد از گروه سوم است. g_2 ریسک متغیر بازار در گروه سوم است و μ ضریب افزایش ریسک است و باعث می شود سهامداران با رتبه های پایین از لحاظ تابع

سپس برای، بدست آوردن مزایای بیشتر آنها سهام مشابه گروه اول را با ریسک بالاتر در مقایسه با گروه دوم انتخاب می کنند. ریسک افراد این گروه در مقایسه با گروه دوم بیشتر است، به همین دلیل بهتر است به جای ضریب ۱ از ضریب $2 \times rand$ که مقدار متوسط آن برابر با ۱ است استفاده شود. با توجه به مطالب گفته شده، افراد این گروه مقادیر سهامهای خود از هر نوع را با توجه به رابطه (17) برای بدست آوردن مزایای بیشتر تغییر می دهند:

$$S_k = 2 \times r_1 \times (pop_{i,1}^{group(1)} - pop_k^{group(3)}) + 2 \times r_2 \times (pop_{i,2}^{group(1)} - pop_k^{group(3)}) \quad (16)$$

$$pop_k^{group(3),new} = pop_k^{group(3)} + 0.8 \times S_k \quad (17)$$

که r_1 و r_2 اعداد تصادفی در بازه $[0,1]$ و n_k آمین نفر از گروه سوم است. $POP_k^{group(3)}$ آمین نفر از گروه سوم است و S_k تغییرات سهام نفر k ام گروه سوم است. اعضای این گروه در واقع نقاط بهینه در اطراف نقطه بهینه را در محدوده وسیع تر نسبت به اعضای گروه دوم جستجو می کنند. این گروه شامل ۲۰ تا ۵۰ درصد از کل جمعیت بازار است.

۳-۲-۲- بازار بورس در حالت نوسان

گاهی اوقات بازار سهام به دلیل رفتارهای سیاسی و اقتصادی سازمان های مالی یا کشورهای عضو، در حالت نوسان قرار می گیرد. در این شرایط، پس از ارزیابی مجدد برانزندی سهامداران و رتبه بندی افراد در گروه ها، سهامداران برای رسیدن به حداکثر سود ممکن و رسیدن به رتبه بندی بالای بازار اقدام به داد و ستد سهام می نمایند. در این حالت از لحاظ برانزندی افراد به سه گروه طبقه بندی می شوند [17].

۳-۲-۱- گروه اول: سهامداران با رتبه های بالا

این بخش از جمعیت، اعضای نخبه بازار بورس یا همان بهترین پاسخ های مسئله بهینه سازی را تشکیل می دهند که تمایلی به انجام داد و ستد سهامهای خود نداشته و سعی در حفظ رتبه خود دارند. این گروه ۱۰ تا ۳۰ درصد از کل جمعیت بازار را تشکیل می دهند.

۳-۲-۲- گروه دوم: سهامداران با رتبه متوسط

این اعضا سعی می کنند با تغییر مقدار سهام خود، بهترین هزینه را پیدا کنند. در این گروه، مجموع سهم اعضا ثابت است و فقط بخشی از مقدار سهامها از هر نوع، افزایش و مقدار برخی دیگر از آنها کاهش می یابد به طوری که در نهایت مقدار کل سهامهای هر فرد تغییر نمی کند. در ابتدا تعدادی برخی از سهامهای هر فرد به شرح زیر افزایش می یابد:

$$\Delta n_{t1} = n_{t1} - \delta + (2 \times r \times \mu \times \eta_1) \quad (18)$$

$$\mu = \frac{t_{pop}}{n_{pop}} \quad (19)$$

$$n_{t1} = \sum_{y=1}^n |s_{ty}|, \quad y = 1, 2, 3, \dots, n \quad (20)$$

مقدار بار آنها با شین‌های دیگر با توجه به وجود و عدم وجود DG تغییر می‌کند و سپس با انجام پخش بار تابع هدف را برای هر شین محاسبه نموده و رتبه‌بندی می‌شوند.

گام پنجم: اعمال تغییرات در سهام‌های نفرات گروه سوم در حالت بازار بدون نوسان: این بار، مقدار بار شین‌هایی که دارای تلفات و افت ولتاژ و عدم پایداری زیاد می‌باشند با توجه به وجود و عدم وجود DG به مقدار بیشتری تغییر می‌کند و سپس با انجام پخش بار تابع هدف را برای هر شین محاسبه نموده و رتبه‌بندی می‌شوند.

گام ششم: بررسی مجدد برازندگی سهامداران و رتبه‌بندی آنها: محاسبه مجدد تابع هدف برای هر شین و رتبه‌بندی آنها.

گام هفتم: داد و ستد در سهام‌های نفرات گروه دوم در حالت نوسان بازار: در این بخش مقدار بار شین‌ها ثابت بوده و تنها مقدار بار برخی از شین‌ها، که دارای تلفات و افت ولتاژ و پایداری متوسط می‌باشند، افزایش و مقدار برخی دیگر از آنها کاهش می‌یابد به نحوی که در انتها مجموع مقدار بار هر شین تغییر نمی‌کند و سپس با انجام پخش بار تابع هدف را برای هر شین محاسبه نموده و رتبه‌بندی می‌شوند.

گام هشتم: داد یا ستد سهام در نفرات گروه سوم در حالت بازار نوسانی: این بار، مقدار بار این شین‌ها دارای تلفات و افت ولتاژ و عدم پایداری زیاد به مقدار بیشتری تغییر می‌کند و سپس با انجام پخش بار تابع هدف را برای هر شین محاسبه نموده و رتبه‌بندی می‌شوند.

گام نهم: تا زمانی که شرایط اتمام برنامه برآورده نشده (تعیین مکان و اندازه بهینه منابع تولید) برنامه از گام دوم مجدداً شروع می‌شود.

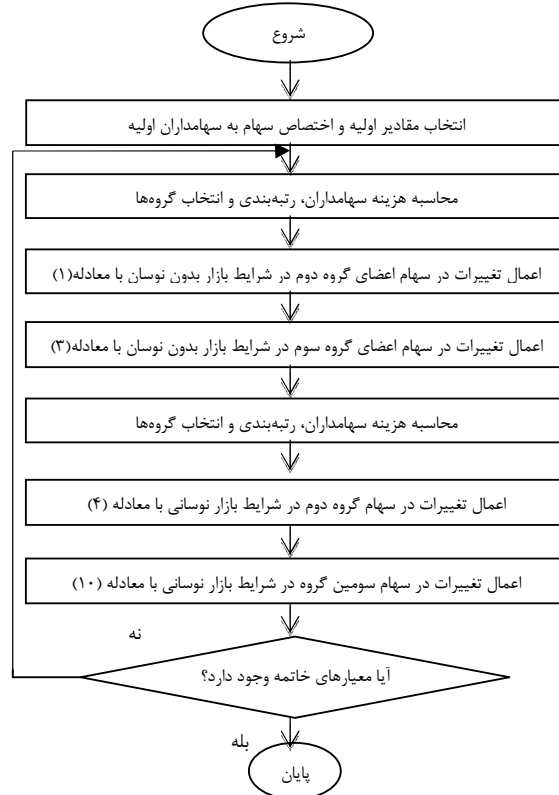
۴- سیستم مورد مطالعه

الگوریتم بازار بورس برای سیستم توزیع ۶۹ شینه مورد بررسی قرار می‌گیرد. نتایج حاصل از سیستم توزیع شعاعی ۶۹ شینه در جزئیات زیر داده می‌شود. الگوریتم EMA در محیط نرم افزار MATLAB پیاده‌سازی شده است.

۴-۱- سیستم ۶۹ شینه استاندارد

سیستم آزمایش شده از طریق الگوریتم بازار بورس، سیستم ۶۹ شینه است. شکل (۲) نمودار سیستم را نشان می‌دهد که شامل فیدرهای اصلی و هفت شاخه است. این سیستم دارای بار کل ۳۸۰۰ کیلووات و ۲۶۹۰ کیلووار و سطح ولتاژ ۱۲/۶ کیلوولت است. داده‌های سیستم در مرجع [24] ارائه شده است. برتری روش پیشنهادی برای حل مسئله مکان و اندازه DG در مقایسه با نتایج حاصل شده در مراجع [21,25-34] تأیید می‌شود.

برازندگی ریسک بیشتری در مقایسه با رقبای موفق‌تر برای افزایش دارایی خود داشته باشند. در این بخش، اعضا با تغییر در تعداد کل سهام‌های خود به صورت تصادفی بخشی از سهام‌های خود را خرید یا فروش می‌نمایند.



شکل (۱): بلوک دیاگرام الگوریتم بازار بورس [17]

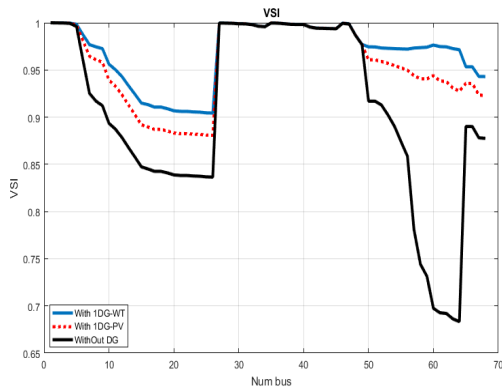
۳-۳- پیاده‌سازی الگوریتم بازار بورس در جایی منابع تولید پراکنده

گام اول: انتخاب مقادیر اولیه: تعداد سهامداران هر سه گروه ۱۰۰ نفر می‌باشند و انتخاب سهام بعنوان متغیر (مکان و اندازه منابع تولید پراکنده).

گام دوم: تعیین گروه اول، سهامداران با تابع برازندگی بالا: شین‌هایی که در آنها با نصب DG دارای بار، و تلفات کم می‌باشند.

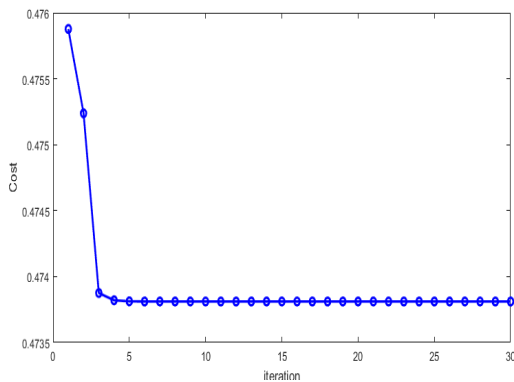
گام سوم: محاسبه سهام سهامداران: میزان بار مصرفی و تولیدی هر شین و رتبه‌بندی بر اساس تابع هدف، که همان تلفات توان اکتیو، پروفیل ولتاژ و پایداری ولتاژ در هر شین می‌باشد.

گام چهارم: اعمال تغییرات در سهام‌های نفرات گروه دوم در حالت بازار بدون نوسان: مقدار بار برخی از شین‌هایی که بعد از نصب DG، دارای تلفات و افت ولتاژ و پایداری متوسط می‌باشد پس از مقایسه



شکل (۴): تأثیر نصب یک تولید پراکنده بر شاخص پایداری ولتاژ در سیستم ۶۹ شینه

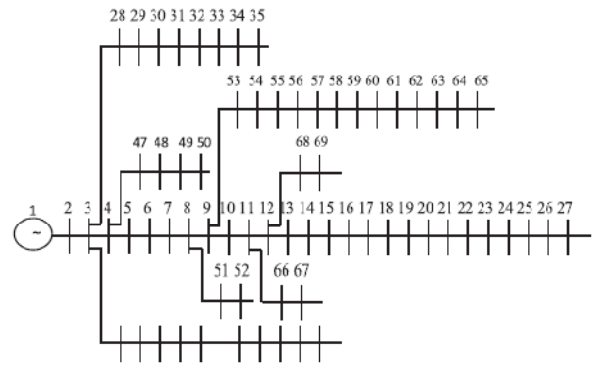
ویژگی همگرایی پس از نصب و راه اندازی تولید پراکنده برای سیستم ۶۹ شینه با یک DG توسط الگوریتم بازار بورس به دست آمده است که در شکل (۵) نشان داده شده است.



شکل (۵): منحنی همگرایی برای سیستم ۶۹ شینه با یک DG

۴-۱-۲- بهینه‌سازی با دو DG

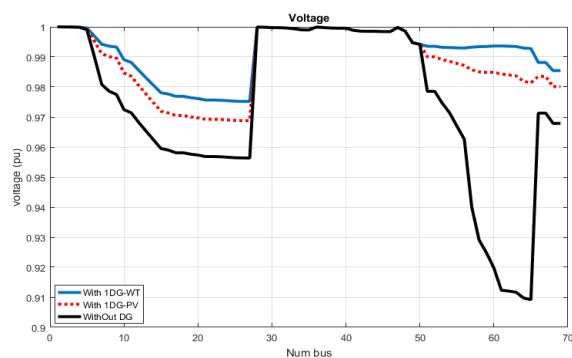
برای نصب دو DG، مکان و اندازه بهینه با استفاده از EMA مطابق جدول (۱) ارائه شده است. برای نوع PV، شین شماره ۱۷ و ۶۱ بهترین مکان برای نصب DG است که به ترتیب با اندازه ۰/۵۴۸ مگاوات و ۲/۰۲۹۸ مگاوات است. تلفات توان به ۵۳/۱۷۳ کیلووات کاهش می‌یابد. همچنین در مقایسه با [27,30-33] الگوریتم مورد استفاده نتایج بهتری در رابطه با تلفات توان، درصد کاهش توان را نشان می‌دهد که در جدول (۳) نشان داده شده است. علاوه بر این اثرات نصب DG بر روی پروفیل ولتاژ و شاخص پایداری ولتاژ به ترتیب در شکل‌های (۶) و (۷) نشان داده شده است. تلفات توان به ۱۹/۶۹۳ کیلووات کاهش می‌یابد. بنابراین الگوریتم مورد استفاده بهتر از CSA,SGA,PSO در کاهش تلفات عمل می‌کند.



شکل (۲): دیاگرام خطی سیستم ۶۹ شینه

۴-۱-۱- بهینه‌سازی با یک DG

بعد از نصب یک DG، مکان و اندازه بهینه با استفاده از الگوریتم EMA بدست می‌آید. در جدول (۱) خلاصه‌ای از نتایج توسعه یافته برای نصب یک و دو DG ارائه شده است. شین شماره ۶۱ بهترین مکان برای نصب DG با اندازه ۱/۹۴۴۵ مگاوات برای نوع PV است. تلفات توان اکتیو کل به 60/032 کیلووات کاهش می‌یابد. حداقل ولتاژ از ۰/۹۱۰۲p.u به ۰/۹۶۸۷p.u افزایش می‌یابد. همچنین در مقایسه با [21,25-31,33,34] الگوریتم مورد استفاده نتایج بهتری در رابطه با تلفات توان، درصد کاهش توان ارائه می‌دهد که در جدول (۲) نشان داده شده است. علاوه بر این اثرات نصب DG بر روی پروفیل ولتاژ و شاخص پایداری ولتاژ به ترتیب در شکل‌های (۳) و (۴) نشان داده شده است. برای نوع توربین بادی، شین شماره ۶۱ بهترین مکان برای نصب DG با اندازه ۱/۴۲۰۱ مگاوات است. تلفات توان به ۲۲/۲۳۴ کیلووات کاهش می‌یابد. بنابراین، الگوریتم مورد استفاده فراتر از GA,CSA,SGA,PSO و BB_BC را در کاهش تلفات، تخمین می‌زند. علاوه بر این، نوع WT⁶ طراحی شده نتایج بهتر نسبت به نوع PV⁷ را از نظر پروفیل ولتاژ و شاخص پایداری ولتاژ نشان می‌دهد که در شکل-های (۳) و (۴) نشان داده شده است. علاوه بر این تلفات توان کل در مورد WT به دلیل تولید توان راکتیو در دسترس بیشتر کاهش می‌یابد.



شکل (۳): تأثیر نصب یک تولید پراکنده بر ولتاژ در سیستم ۶۹ شینه

جدول (۱): نتایج برای سیستم ۶۹ شینه

آیتمها	بدون DG	با DG (KVA)			
		DG یک		DG دو	
		فتوولتائیک	بادی	فتوولتائیک	بادی
تلفات کل (کیلووات)	۲۲۴/۹۴	۶۰/۰۳۲	۲۲/۲۳۴	۵۳/۱۷۳	۱۹/۶۹۳
کاهش تلفات	-	٪۷۳/۳۱۲	٪۹۰/۱۱۶	٪۷۶/۳۶۲	٪۹۱/۳۴۶
کمترین ولتاژ	۰/۹۱۰۲	۰/۹۶۸۷	۰/۹۷۵۱	۰/۹۸۷۵	۰/۹۹۲۶
بیشترین ولتاژ	۱	۱	۱	۱	۱
ظرفیت DG (کیلووات)	-	۱۹۴۴/۵۶	۱۴۲۰/۱۱	۵۴۸/۰۵	۴۶۰/۱۲۵
محل DG	-	شین ۶۱	شین ۶۱	شین ۱۷	شین ۱۸
				۲۰۲۹/۸۸	۱۳۳۶/۲۳
				شین ۶۱	شین ۶۱
VSI	۶۱/۳۳۷۹	۶۴/۷۷۷	۶۵/۷۹۴	۶۶/۴۱۳	۶۶/۹۳۲
هزینه تلفات (\$)	۱۱۸۲۲۸/۴۶	۳۱۵۵۲/۸۲	۱۱۶۸۶/۱۹	۲۷۹۴۷/۷۳	۱۰۳۵۰/۶۴
ذخیره سازی (\$/year)	-	۸۶۶۷۵/۶۴	۱۰۶۵۴۲/۲۷	۹۰۲۸۰/۷۳	۱۰۷۸۷۷/۸۲

جدول (۲): نتایج برای نصب یک تولید پراکنده در سیستم ۶۹ شینه

نوع DG	روش	نصب DG		تلفات توان	
		اندازه (KVA)	شین	مقدار (KW)	درصد کاهش
-	بدون	-	-	۲۲۴/۹۴	-
PV	EMA	۱۹۴۴/۵	۶۱	۶۰/۰۳۲	۷۳/۳۱۲
	ABC[۲۵]	۱۹۰۰	۶۱	۸۳/۳۱	۶۲/۹۶
	GA[۲۱]	۱۸۷۲	۶۱	۸۳/۱۸	۶۳/۰۲
	Analytical[۲۶]	۱۸۱۰	۶۱	۸۱/۴۴	۶۳/۷۹
	Analytical[۲۹]	۱۸۰۷/۸	۶۱	۹۲	۵۹/۱
	Grid search[۲۹]	۱۸۷۶/۱	۶۱	۸۳	۶۳/۱
	GA[۳۱]	۱۷۹۴	۶۱	۸۳/۴۲۵۲	۶۲/۹۱
	PSO[۳۴]	۱۳۳۷/۸	۶۱	۸۳/۲۰۶	۶۳/۰۱
	CSA[۳۳]	۲۰۰۰	۶۱	۸۳/۸	۶۲/۷۴
	SGA[۳۳]	۲۳۰۰	۶۱	۸۹/۴	۶۰/۳
	PSO[۳۳]	۲۰۰۰	۶۱	۸۳/۸	۶۲/۷۵
	MTLBO[۳۰]	۱۸۱۹/۶۹۱	۶۱	۸۳/۳۲۳	۶۲/۹۵
	BB-BC[۲۸]	۱۸۷۲/۵	۶۱	۸۳/۲۲۴۶	۶۳
	ALOA[۲۷]	۱۸۰۰	۶۱	۸۱/۷۷۶	۶۳/۶۴۵
WT	EMA	۱۴۲۰/۱	۶۱	۲۲/۲۳۴	۹۰/۱۱۶
	GA[۲۱]	۲۱۵۵/۶	۶۱	۳۸/۴۵۸	۸۲/۹
	CSA[۳۳]	۲۳۰۰	۶۱	۵۲/۶	۷۶/۶
	SGA[۳۳]	۲۶۰۰	۶۱	۶۴/۴	۷۱/۳۷
	PSO[۳۳]	۲۳۰۰	۶۱	۵۲/۶	۷۶/۶
	BB-BC[۲۸]	۲۲۲۳	۶۱	۲۳/۱۷۳۷	۸۹/۶۹۷
	ALOA[۲۷]	۲۲۲۷/۹	۶۱	۲۳/۱۶۲۲	۸۹/۷۰۳

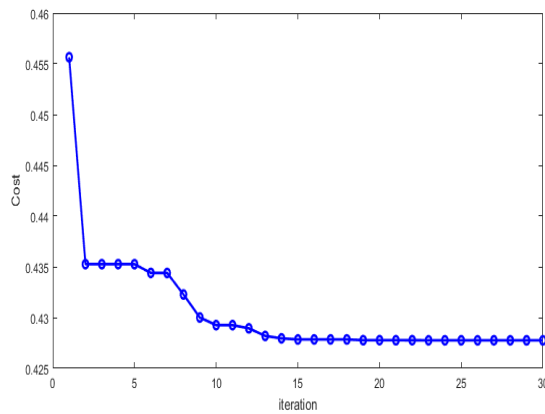
قابل توجهی در کاهش تلفات توان و بهبود پروفیل ولتاژ دارد. علاوه بر این کاهش تلفات توان کل در نوع WT بیشتر از نوع PV به علت تولید توان راکتیو تزریقی است.

علاوه بر این، نوع WT طراحی شده نتایج بهتر نسبت به نوع PV را از نظر پروفیل ولتاژ و شاخص پایداری ولتاژ نشان می‌دهد که در شکل- های (۶) و (۷) نشان داده شده است. قابلیت توان راکتیو WT تأثیر

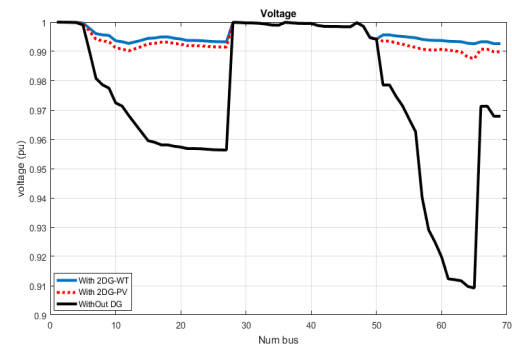
جدول (۳): نتایج برای نصب دو تولید پراکنده در سیستم ۶۹ شینه

نوع DG	روش	نصب DG		تلفات توان	
		اندازه (KVA)	شینه	مقدار (KW)	درصد کاهش
-	بدون	-	-	۲۲۴/۹۴	-
PV	EMA	۵۴۸/۰۵	۱۷	۵۳/۱۷۲	۷۶/۳۶۲
		۲۰۲۹/۸۸	۶۱		
	GA[۳۲]	۱۷۷۷	۶۱	۷۱/۷۹۱۲	۶۸/۰۸
		۵۵۵	۱۱		
	GA[۳۱]	۶	۱	۸۴/۲۳۳	۶۲/۵۵
		۱۷۹۴	۶۲		
	CSA[۳۳]	۶۰۰	۲۲	۷۶/۴	۶۶
		۲۱۰۰	۶۱		
	SGA[۳۳]	۱۰۰۰	۱۷	۸۲/۹	۶۳/۱
		۲۴۰۰	۶۱		
PSO[۳۳]	۷۰۰	۱۴	۷۸۸	۶۴/۹۷	
	۲۱۰۰	۶۲			
MTLBO[۳۰]	۵۱۹۷/۰۵	۱۷	۷۱/۷۷۶	۶۸/۰۹	
	۱۷۳۲/۰۰۴	۶۱			
ALOA[۲۷]	۵۳۸/۷۷۷	۱۷	۷۰/۷۵۰	۶۸/۵۲۷	
	۱۷۰۰	۶۱			
WT	EMA	۴۶۰/۲۵	۱۸	۱۹/۶۹۳	۹۱/۲۴۶
		۱۳۳۶/۲۳	۶۱		
	CSA[۳۳]	۸۰۰	۱۸	۳۹/۹	۸۲/۲۶
		۲۰۰۰	۶۱		
	SGA[۳۳]	۶۰۰	۱۸	۴۴	۸۰/۴
		۲۳۰۰	۶۲		
PSO[۳۳]	۹۰۰	۱۸	۴۲/۴	۸۱/۱۵	
	۱۹۰۰	۶۲			
ALOA[۲۷]	۷۲۶/۶۲۷	۱۷	۲۰/۹۳۴۲	۹۰/۶۹	
	۱۵۰۰	۶۱			

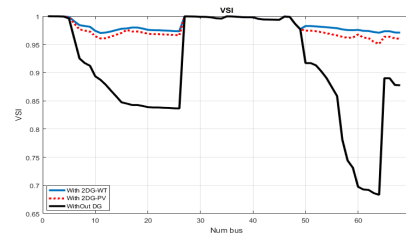
ویژگی همگرایی پس از نصب و راه اندازی تولید پراکنده برای سیستم ۶۹ شینه با دو DG توسط الگوریتم بازار بورس به دست آمده است که در شکل (۸) نشان داده شده است.



شکل (۸): منحنی همگرایی برای سیستم ۶۹ شینه با دو DG



شکل (۶): تأثیر نصب دو تولید پراکنده بر ولتاژ در سیستم ۶۹ شینه



شکل (۷): تأثیر نصب دو تولید پراکنده بر شاخص پایداری ولتاژ در سیستم ۶۹ شینه

۲-۴- تأثیر بار متغیر

بار ثابت در طول سال یک مورد فرضی است. مشخصات بار تحت تأثیر تغییرات فصلی و زمانی است. به منظور تقلید این اثر، بار در کل سال به عنوان ترکیبی از ۳ سطح بار از دوره‌های مختلف در جدول (۴) ارائه شده است. الگوریتم بازار بورس اندازه‌های بهینه DG را برای سطوح مختلف بار پیدا می‌کند. مقادیر تلفات، DG نصب شده و حداقل و حداکثر پروفیل‌های ولتاژ برای سیستم ۶۹ شینه در جدول (۵) با بارهای متغیر نمایش داده می‌شود. دیده می‌شود که تلفات در

بارهای مختلف کاهش می‌یابد زیرا تعداد مکان‌ها افزایش می‌یابد. علاوه بر این، حداقل و حداکثر ولتاژها هم بهبود یافته‌اند.

جدول (۴): مدت سطوح بارهای مختلف

سطح بار	L_2 (مورد پایه)	مدت (ساعت)
سطح ۱	۱	۶۷۶۰
سطح ۲	۰/۶۲۵	۱۰۰۰
سطح ۳	۱/۲۵	۱۰۰۰

جدول (۵): جایابی بهینه واحدهای PV در بارهای مختلف برای سیستم ۶۹ شینه

تعداد واحدهای PV	مقدار بار	اندازه DG در شین (کیلووات)		تلفات (KW)	حداقل ولتاژ	حداکثر ولتاژ
		۶۱	۱۷			
یک	۲۳۷۵ کیلووات ۱۶۸۱ کیلووات	۷۴۲/۳	-	۲۹/۹	۰/۹۸۵	۱
	۳۸۰۰ کیلووات ۲۶۹۰ کیلووات	۱۹۴۴/۵	-	۶۰/۰۳	۰/۹۶۸۷	۱
	۴۷۵۰ کیلووات ۳۳۶۲ کیلووات	۲۴۸۸/۵	-	۱۰۱/۶	۰/۹۶۰۹	۱
دو	۲۳۷۵ کیلووات ۱۶۸۱ کیلووات	۷۴۷/۳	۲۰۹/۵	۱۸/۷۹	۰/۹۸۹	۱
	۳۸۰۰ کیلووات ۲۶۹۰ کیلووات	۲۰۳۰/۲	۵۴۷/۸	۵۳/۱۷	۰/۹۸۷۵	۱
	۴۷۵۰ کیلووات ۳۳۶۲ کیلووات	۷۲۳/۱	۲۵۰۰	۸۸/۹۶	۰/۹۹۲۹	۱

۵- نتیجه گیری

در این مقاله، الگوریتم بهینه‌سازی بازار بورس به منظور مکان‌یابی و تعیین اندازه بهینه تولیدات پراکنده بر اساس منابع تجدیدپذیر در سیستم توزیع با هدف کاهش تلفات توان و بهبود پروفیل ولتاژ و بهبود شاخص پایداری ولتاژ (VSI) به خوبی اجرا شده است. الگوریتم بازار بورس از هوش انسان و روش معاملات سهام در بازار بورس الهام گرفته شده است. در الگوریتم بازار بورس دو حالت متفاوت وجود دارد. در حالت اول، نوسان در بازار وجود ندارد، در حالیکه در حالت دوم، بازار

نوسان دارد. قابل توجه است که در انتهای هر حالت، ریزش افراد ارزیابی می‌شود. برای حالت اول، وظیفه الگوریتم این است که افراد را به سوی نفرات موفق جذب کنیم، در حالی که در مورد دوم الگوریتم به دنبال نقاط بهینه است. الگوریتم مورد استفاده با در نظر گرفتن تابع هدف و قیود مسئله با استفاده از نرم افزار MATLAB بر روی سیستم توزیع ۶۹ شینه استاندارد IEEE شبیه‌سازی شده و مورد بررسی قرار گرفت. اثر بخشی روش پیشنهادی با استفاده از سیستم‌های تست مختلف روشن می‌شود.

- [18] Ghadimi, N, 2013, "A method for placement of distribution generation (DG) units using particle Swarm optimization", *Int. J. Phys. Sci.* 8 (27) 1417-1423.
- [19] Moradi, M, Abedini, M, 2012, "A combination of genetic algorithm and particle Swarm optimization for optimal distributed generation location and sizing in distribution systems with fuzzy optimal theory", *Int. J. Green Energy* 9 (7), 641-660.
- [20] Das, D, Kothari, D, Kalam, A, 1995, "Simple and efficient method for load flow solution of radial distribution network", *Int. J. Electr. Power Energy Syst.* 17 (5) 335-346.
- [21] Hassan, A, Fahmy, F, Nafeh, A, Abuelmagd, M, 2015, "Genetic single objective optimization for sizing and allocation of renewable DG systems", *Int. J. Sustain. Energy*, <http://dx.doi.org/10.1080/14786451.2015.1053393>.
- [22] Manafi, H, Ghadimi, N, Ojaroudi, M, Farhadi, P, 2013, "Optimal placement of distributed generations in radial distribution systems using various PSO and DE algorithms", *Elektron. Ir. Elektrotehnika* 19 (10) 53-57.
- [23] Ali, E.S, Abd Elazim, S.M, Abdelaziz, A.Y, 2017, "Ant Lion Optimization Algorithm for optimal location and sizing of renewable distributed generations", *Renewable Energy*, 101, 1311-1324.
- [24] Baran, M, Wu, F, 1989, "Optimal capacitor placement on radial distribution systems", *IEEE Trans. Power Deliv.* 4 (1), 725-734.
- [25] Abu-Mouti, F.S, El-Hawary, M.E, 2011, "Optimal distributed generation allocation and sizing in distribution systems via artificial Bee colony algorithm", *IEEE Trans. Power Deliv.* 26 (4), 2090-2101.
- [26] Acharya, N, Mahat, P, Mithulananthan, N, 2006, "An analytical approach for DG allocation in primary distribution network", *Int. J. Electr. Power Energy Syst.* 28, 669-678.
- [27] Ali, E.S, Abd Elazim, S.M, Abdelaziz, A.Y, 2017, "Ant Lion Optimization Algorithm for optimal location and sizing of renewable distributed generations", *Renewable Energy*, 101, 1311-1324.
- [28] Abdelaziz, A, Hegazy, Y, El-Khattam, W, Othman, M, 2015, "A multi-objective optimization for sizing and placement of voltage-controlled distributed generation using supervised Big Bang-Big Crunch method", *Electr. Power Compon. Syst.* 43 (1), 105-117.
- [29] Gozel, T, Hocaoglu, M, 2009, "An analytical method for the sizing and siting of distributed generators in radial systems", *Int. J. Electr. Power Syst. Res.* 79, 912-918.
- [30] García, J, Mena, A, 2013, "Optimal distributed generation location and size using a modified teaching-learning based optimization algorithm", *Int. J. Electr. Power Energy Syst.* 50, 65-75.
- [31] Pisica, I, Bulac, C, Eremia, M, 2009, "Optimal distributed generation location and sizing using genetic algorithms", in: 15th Int. Conf. On Intelligent System Applications to Power Systems, ISAP '09, Curitiba, pp. 1-6.
- [32] Shukla, T, Singh, S, Srinivasaraob, V, Naik, K, 2010, "Optimal sizing of distributed generation placed on radial distribution systems", *Electr. Power Compon. Syst.* 38 (3), 260-274.
- [33] Tan, W, Hassan, M, Majid, M, Rahman, H, 2012, "Allocation and sizing of DG using cuckoo search algorithm", *IEEE Int. Conf. Power Energy*, 133-138.
- [34] Wong, L.Y, Rahim, S.R.A, Sulaiman, M.H, Aliman, O, 2010, "Distributed generation installation using particle Swarm optimization", in: 4th Int. Conf. On Power Engineering and Optimization, 23-24, pp. 159-163. Shah Alam.

زیر نویس‌ها

- ∩ Distributed Generation
- ∪ Genetic Algorithm
- ∩ Particle Swarm Optimization
- ∪ Voltage Stability Index
- 5 Exchange Market Algorithm
- 6 Wind Turbine
- 7 Photovoltaic

نتایج بدست آمده با الگوریتم‌های دیگر مانند GA, PSO, CSA, SGA, BB-BC, ABC, ALOA و ... مقایسه شده است. از مقایسه نتایج، واضح است که الگوریتم مورد استفاده عملکرد قابل توجهی در رابطه با کاهش تلفات توان و بهبود پروفیل ولتاژ و بهبود شاخص پایداری ولتاژ داشته است. علاوه بر این الگوریتم بازار بورس می‌تواند برای تقاضای بار متغیر استفاده شود.

سیاسگزاری

با تشکر از اعضای هیئت علمی و معاونین و ریاست محترم دانشگاه آزاد اسلامی واحد دزفول برای تأمین امکانات و تاسیسات زیر بنایی عالی و تشویق که این تحقیق را ممکن ساخته است.

مراجع

- [1] T. Ackermann, G. Andersson, L. Soder, 2001, Distributed generation: a definition, *Electr. Power Syst. Res.* 57 (3), 195-204.
- [2] G. Pepermans, J. Driesen, D. Haeseldonckx, R. Belmans, W. D'Haeseleer, 2005, Distributed generation: definition, benefits and issue, *Energy Policy* 33 (6), 787-798.
- [3] N. Mithulananthan, O. Than, L.V. Phu, 2004, Distributed generator placement in power distribution system using genetic algorithm to reduce losses, *TIJSAT* 9 (3), 55-62.
- [4] P.S. Georgilakis, N.D. Hatzigiorgi, 2013, Optimal distributed generation placement in power distribution networks: models, methods and future research, *IEEE Trans. Power Syst.* 28 (3), 3420-3428.
- [5] S.G. Naik, D.K. Khatod, M.P. Sharma, 2012, Planning and operation of distributed generation in distribution networks, *Int. J. Emerg. Technol. Adv. Eng.* 2 (9), 381-388.
- [6] T. Griffin, K. Tomsovic, D. Secrest, A. Law, 2000, Placement of dispersed generation systems for reduced losses, in: 33th Proceeding Hawaii Int. Conf. On System Sciences, pp. 1-9.
- [7] N. Rezaei, M.R. Haghifam, 2008, Protection Scheme for A Distribution system with distributed generation using neural networks, *Int. J. Electr. Power Energy Syst.* 30 (4), 235-241.
- [8] T.J. Hashim, A. Mohamed, 2013, Fuzzy logic based coordinated voltage control for distribution network with distributed generations, *Int. J. Electr. Comput. Energetic, Electron. Commun. Eng.* 7 (7), 369-374.
- [9] A. Zangeneh, S. Jadid, A. Rahimi-Kian, 2011, A fuzzy environmental-technicaleconomic model for distributed generation planning, *Energy* 36 (5), 3437-3445.
- [10] A. Elmitwally, 2013, A new algorithm for allocating multiple distributed generation units based on load centroid concept, *Alex. Eng. J.* 52 (4), 655-663.
- [11] A. Awad, T. El-Fouly, M. Salama, 2014, Optimal distributed generation allocation and load shedding for improving distribution system reliability, *Electr. Power Compon. Syst.* 42 (6), 576-584.
- [12] M. Gandomkar, M. Vakilian, M. Ehsan, 2005, A genetic based tabu search algorithm for optimal DG allocation in distribution networks, *Electr. Power Compon. Syst.* 33 (12), 1351-1362.
- [13] M. Gandomkar, M. Vakilian, M. Ehsan, 2005, A combination of genetic algorithm and simulated annealing for optimal DG allocation in distribution networks, in: Proceedings of Canadian Conf. On Electrical and Computer Engineering, Saskatchewan, Canada, 1-4.
- [14] C. Borges, D. Falcao, 2006, Optimal distributed generation allocation for reliability, losses, and voltage improvement, *Int. J. Electr. Power Energy Syst.* 28 (6), 413-420.
- [15] M. Moradi, M. Abedini, 2012, A combination of genetic algorithm and particle Swarm optimization for optimal distributed generation location and sizing in distribution systems with fuzzy optimal theory, *Int. J. Green Energy* 9 (7), 641-660.
- [16] A.A. Bagheri, A. Habibzadeh, S.M. Alizadeh, 2011, Comparison of the effect of combination of different DG types on loss reduction using APSO algorithm, *Can. J. Electr. Electron. Eng.* 2, 468-474.
- [17] Ghorbani, N, Babaei, E, 2014, "Exchange Market Algorithm", *Applied Soft Computing*, volume 19, pp. 177-187.

رزومه



سعید بوذرجمهری متولد دزفول (۱۳۶۸).
تحصیلات دانشگاهی خود را در مقطع
کارشناسی مهندسی برق - قدرت از دانشگاه آزاد
اسلامی واحد دزفول (۱۳۹۲)، و دانشجوی
کارشناسی ارشد مهندسی برق - قدرت از
دانشگاه آزاد اسلامی واحد دزفول (۱۳۹۶) می‌باشد. علاقه‌مندی ایشان
در مورد بهره‌برداری از سیستم‌های قدرت، تولیدات پراکنده و بهینه-
سازی می‌باشد.



حسن براتی در دزفول متولد شده است
(۱۳۴۸). تحصیلات دانشگاهی خود را در مقطع
کارشناسی مهندسی برق - الکترونیک از دانشگاه
صنعتی اصفهان (۱۳۷۱)، کارشناسی ارشد
مهندسی برق - قدرت از دانشگاه تبریز (۱۳۷۵) و
دکتری مهندسی برق - قدرت از دانشگاه آزاد
اسلامی واحد علوم و تحقیقات تهران (۱۳۸۷) سپری کرده است. فعالیت
های پژوهشی و علاقه‌مندی ایشان در زمینه ادوات FACTS، کیفیت
توان، و بهره‌برداری از سیستم‌های قدرت است و در حال حاضر
استادیار گروه برق دانشگاه آزاد اسلامی واحد دزفول می‌باشد.

Exchange Market Optimization Algorithm for optimal location and sizing of renewable distributed generations

S. bouzarjmehri^{1*}, H. barati²

^{1,*} MSc student, Electric Power Department, Faculty of Engineering, Dezful Branch, Islamic Azad University, Dezful, Iran, S.bouzarjmehri@gmail.com

² Assistant Professor of Electrical Power, Faculty of Engineering, Dezful Branch, Islamic Azad University, Dezful, Iran, barati216@gmail.com

Abstract

Since distribution networks incorporate a large share of the losses in power systems, reducing losses in these networks is one of the most important issues of global networks, including issues that have always been taken into consideration. There are several ways to reduce losses in distribution networks, one of which is the installation of distributed generation units. Renewable sources can supply a clean and smart solution to the increased demands. Thus, Photovoltaic (PV) and Wind Turbine (WT) are taken here as resources of Distributed Generation (DG). Location and sizing of distributed generation have affected largely on the system losses. In this article, Exchange Market Optimization Algorithm (EMA) is proposed for optimal location and sizing of DG based renewable sources for the ۶۹ buses distribution system. The exchange market algorithm on IEEE radial distribution system is simulated and studied using Matlab software and the results of the exchange market algorithm are compared with other algorithms. The results show the effectiveness of the exchange market algorithm in finding the optimal location and sizing of DG to reduce losses and improve the voltage profile.

*Corresponding author: S.bouzarjmehri@gmail.com

Keywords: Distributed Generation, Exchange Market Algorithm, Optimal placement, Voltage profiles, Loss reduction.

Please cite this article as:

S. bouzarjmehri, H. barati. Exchange Market Optimization Algorithm for optimal location and sizing of renewable distributed generations. Journal of Energy Conversion, Vol. 1, No. 4 (2016).